

# Численные методы для решения волнового уравнения в многомерном случае

Царапова Юлия, Б02-882

МФТИ 2021 г.

## 1 Введение

Численное решение волнового уравнения является наиболее интересным и имеющим множество точек применения. Рассмотрение же многомерного волнового уравнения делает данную задачу еще более актуальной для исследований поведения различных процессов.

Потому, рассмотрим теоретическое обоснование и численное решение волнового уравнения с заданным граничным условием, которое было подобрано из-за свойств симметрии и определенного поведения на границах изучаемой области, что позволяет не отвлекаться на возможные эффекты, влияющие на вид решения данной задачи.

## 2 Задача для моделирования

В качестве моделируемой задачи в данной работе рассматривается нахождение численного решения  $u = u(x, y, t)$  волнового уравнения

$$\frac{\partial^2 u}{\partial t^2} - \beta \left( \frac{\partial^2 u}{\partial x^2} + \frac{\partial^2 u}{\partial y^2} \right) = 0 \quad (1)$$

в области  $(x, y, t) \in [0, 1] \times [0, 1] \times [0, 3]$ , дополненного начально-краевыми условиями:

$$u(x, y, 0) = u_0(x, y), \quad \left. \frac{\partial u}{\partial t} \right|_0 = v_0(x, y), \quad (2)$$

$$u(0, 0, t) = u(0, 1, t) = u(1, 0, t) = u(1, 1, t) = 0. \text{ (условие полного отражения)} \quad (3)$$

коэффициент  $\beta$  задается так:

$$\beta = \begin{cases} 0.1, & x, y \in [0, 0.2] \times [0, 0.2] \\ 1, & \text{иначе} \end{cases} \quad (4)$$

Начальные данные определены следующим образом:  $v_0(x, y) = 1$ ,  $u_0$  - импульс Рикера с  $\sigma = 10$ .

Рассматриваемый импульс Рикера, иначе МНАТ-вейвлет, имеет вид:

$$\psi(t) = \frac{2}{\sqrt{3\sigma\pi^{1/4}}} \left( 1 - \left( \frac{t}{\sigma} \right)^2 \right) e^{-\frac{t^2}{2\sigma^2}} \quad (5)$$

где  $t$  - расстояние от центра расчетной области до точки  $(x, y)$

### 3 Численное моделирование методом «крест»

Простейшим способом численного моделирования данного волнового уравнения является двумерная схема «крест». Аппроксимация на этом шаблоне получается при замене вторых производных их разностными аналогами:

$$\frac{u_{n,m}^{l+1} - 2u_{n,m}^l + u_{n,m}^{l-1}}{\tau^2} = \beta \left( \frac{u_{n+1,m}^l - 2u_{n,m}^l + u_{n-1,m}^l}{h_x^2} + \frac{u_{n,m+1}^l - 2u_{n,m}^l + u_{n,m-1}^l}{h_y^2} \right) \quad (6)$$

В узле  $(x_n, y_m, t_l)$  разностное уравнение аппроксимирует исходное дифференциальное уравнение с погрешностью  $O(\tau^2 + h_x^2 + h_y^2)$ .

Для каждого фиксированного  $l$  неизвестными в уравнении являются  $u_{n,m}^{l+1}$ , которые могут быть легко выражены. После того, как все значения  $u_{n,m}^{l+1}$  найдены, для завершения перехода на слой  $l + 1$  нужно лишь воспользоваться граничными условиями со значениями  $n, m$  на концах нашей размерной сетки.

$$u_{n,m}^{l+1} = 2u_{n,m}^l - u_{n,m}^{l-1} + \beta\tau^2 \left( \frac{u_{n+1,m}^l - 2u_{n,m}^l + u_{n-1,m}^l}{h_x^2} + \frac{u_{n,m+1}^l - 2u_{n,m}^l + u_{n,m-1}^l}{h_y^2} \right) \quad (7)$$

Для исследования схемы «крест» на устойчивость по начальным данным можно использовать метод гармоник. Множители роста при этом удовлетворяют квадратному уравнению:

$$\lambda_{p,q}^2 - 2\lambda_{p,q} + 1 = -\lambda_{p,q} \left( \frac{4\beta\tau^2}{h_x^2} \sin^2 \frac{\alpha_q}{2} + \frac{4\beta\tau^2}{h_y^2} \sin^2 \frac{\alpha_p}{2} \right) \quad (8)$$

Условие  $|\lambda_{p,q}| \leq 1$  выполняется, если дискриминант уравнения неположителен:

$$\frac{D}{4} = \left( 1 - 2\beta\tau^2 \left( \frac{\sin^2 \frac{\alpha_q}{2}}{h_x^2} + \frac{\sin^2 \frac{\alpha_p}{2}}{h_y^2} \right) \right)^2 - 1 \leq 0 \quad (9)$$

то есть когда справедливы неравенства

$$-1 \leq 1 - 2\beta\tau^2 \left( \frac{\sin^2 \frac{\alpha_q}{2}}{h_x^2} + \frac{\sin^2 \frac{\alpha_p}{2}}{h_y^2} \right) \leq 1 \quad (10)$$

Последнее условие выполнено, если:

$$\beta\tau^2 \left( \frac{1}{h_x^2} + \frac{1}{h_y^2} \right) \leq 1 \quad (11)$$

откуда получаем условие устойчивости схемы «крест» в двумерном случае:

$$\sqrt{\beta}\tau \sqrt{\frac{1}{h_x^2} + \frac{1}{h_y^2}} \leq 1 \quad (12)$$

Схему «крест» удобно использовать в расчетах, не требующих высокой надежности вычислений, то есть когда не может возникнуть локальное нарушение условия.

### 4 Численное моделирование для неявной схемы

Рассмотрим двумерный аналог неявной схемы для уравнения колебаний:

$$u_{\bar{t}\bar{t}} = \beta \sum_{s=1}^2 \Lambda_s (\sigma \hat{u} + (1 - 2\sigma)u + \sigma \bar{u}) \quad (13)$$

где  $\Lambda_1 u = u_{\bar{x}x}$  и  $\Lambda_2 u = u_{\bar{y}y}$ .

За счет своей симметрии относительно слоя  $l$  схема обладает погрешностью аппроксимации  $O(\tau^2 + h_x^2 + h_y^2)$ , однако она не является экономичной, так как переход со слоя на слой требует слишком большого числа действий. Заметим, что для выражения, на которое действуют операторы  $\Lambda_s$  в правой части уравнения, справедливо равенство:

$$\sigma \hat{u} + (1 - 2\sigma)u + \sigma \bar{u} = \sigma \tau^2 u_{\bar{t}t} + u \quad (14)$$

которое позволяет переписать уравнение в виде:

$$B = \left( E - \sigma \tau^2 \beta \sum_{s=1}^2 \Lambda_s \right) u_{\bar{t}t} = \beta \sum_{s=1}^2 \Lambda_s u \quad (15)$$

Рассмотрим приближенный факторизованный оператор  $\bar{B}$  следующего вида:

$$\bar{B} = (E - \sigma \tau^2 \beta \Lambda_1)(E - \sigma \tau^2 \beta \Lambda_2) = E - \sigma \tau^2 \beta (\Lambda_1 + \Lambda_2) + \sigma^2 \tau^4 \beta^2 \Lambda_1 \Lambda_2 \quad (16)$$

Операторы  $B$  и  $\bar{B}$  отличаются на величину порядка  $O(\tau^4)$ . Таким образом, если в уравнении (15) заменить оператор  $B$  на оператор  $\bar{B}$ , погрешность аппроксимации этим разностным уравнением исходного дифференциального уравнения не будет испорчена (она останется равной  $O(\tau^2)$ ). В результате замены получаем факторизованную разностную схему:

$$(E - \sigma \tau^2 \beta \Lambda_1)(E - \sigma \tau^2 \beta \Lambda_2) u_{\bar{t}t} = \beta \Lambda u \quad (17)$$

где  $\Lambda = \Lambda_1 + \Lambda_2$ .

Исследовать схему (17) на устойчивость можно с помощью метода гармоник. При этом для множителей роста получаем следующее квадратное уравнение:

$$\left( 1 + \frac{4\beta\tau^2}{h_x^2} \sin^2 \frac{\alpha_q}{2} \right) \left( 1 + \frac{4\beta\tau^2}{h_y^2} \sin^2 \frac{\alpha_p}{2} \right) (\lambda_{p,q}^2 - 2\lambda_{p,q} + 1) = -\lambda_{p,q} 4\beta\tau^2 \left( \frac{\sin^2 \frac{\alpha_q}{2}}{h_x^2} + \frac{\sin^2 \frac{\alpha_p}{2}}{h_y^2} \right) \quad (18)$$

которое можно переписать в виде

$$\lambda_{p,q}^2 - 2 \left( 1 - \frac{\gamma_1 + \gamma_2}{(1 + 2\sigma\gamma_1)(1 + 2\sigma\gamma_2)} \right) \lambda_{p,q} + 1 = 0 \quad (19)$$

где введены обозначения

$$\begin{cases} \gamma_1 = \frac{2\beta\tau^2}{h_x^2} \sin^2 \frac{\alpha_q}{2} \\ \gamma_2 = \frac{2\beta\tau^2}{h_y^2} \sin^2 \frac{\alpha_p}{2} \end{cases} \quad (20)$$

Условие  $|\lambda_{p,q}| \leq 1$  выполняется, если дискриминант уравнения неположителен, то есть если справедливы неравенства:

$$-1 \leq 1 - \frac{\gamma_1 + \gamma_2}{(1 + 2\sigma\gamma_1)(1 + 2\sigma\gamma_2)} \leq 1 \quad (21)$$

Последнее неравенство заведомо выполнено при  $\sigma \geq \frac{1}{4}$ . Следовательно, как и в одномерном случае, схема (17) безусловно устойчива при  $\sigma \geq \frac{1}{4}$ . На практике же целесообразно выбирать так чтобы вес  $(1 - 2\sigma)$  центрального слоя не был отрицателен.

Введем вспомогательную функцию  $u^{(1)}(E - \sigma \tau^2 \beta \Lambda_2) u_{\bar{t}t}$ . Тогда можно получить систему уравнений из граничных условий для функции  $u_{n,m}^l$ :

$$u_{0,m}^{(1)} = (E - \sigma \tau^2 \beta \Lambda_2) u_{\bar{t}t}|_{n=0} = (E - \sigma \tau^2 \beta \Lambda_2) \frac{\mu_1(y_m, t_{l+1}) - 2\mu_1(y_m, t_l) + \mu_1(y_m, t_{l-1}))}{\tau^2} = \overline{\mu_{1,m}} \quad (22)$$

$$u_{N,m}^{(1)} = (E - \sigma\tau^2\beta\Lambda_2) u_{\bar{t}t}|_{n=N} = (E - \sigma\tau^2\beta\Lambda_2) \frac{\mu_2(y_m, t_{l+1}) - 2\mu_2(y_m, t_l) + \mu_2(y_m, t_{l-1}))}{\tau^2} = \overline{\mu_{2,m}} \quad (23)$$

В результате для  $u_{N,m}^{(1)}$  при каждом фиксированном  $m$  приходим к системе линейных алгебраических уравнений с трехдиагональной матрицей:

$$\begin{cases} u_{0,m}^{(1)} = \overline{\mu_{1,m}} \\ \frac{\beta\tau^2}{h_x^2} u_{n-1,m}^{(1)} - \left(1 + \frac{2\beta\tau^2}{h_x^2}\right) u_{n,m}^{(1)} + \frac{\beta\tau^2}{h_x^2} u_{n+1,m}^{(1)} = \beta \left( \frac{u_{n+1,m}^l - 2u_{n,m}^l + u_{n-1,m}^l}{h_x^2} + \frac{u_{n,m+1}^l - 2u_{n,m}^l + u_{n,m-1}^l}{h_y^2} \right) \\ u_{N,m}^{(1)} = \overline{\mu_{2,m}} \end{cases} \quad (24)$$

где второе условие выполняется для  $n = 1, \dots, N-1$ .

Для разрешения данной схемы требуется теперь только условие на границах сетки.

## 5 Результаты численного моделирования

Приведем некоторые результаты численного моделирования.

По изначальной задумке требовалось сравнение двух методов численного моделирования данной задачи: схемы «крест» и и эволюционнофакторизованной схемы. Но в данной работе приведены только результаты решения задачи в явном виде.

На рисунках ниже приведены решения данной задачи методом «крест» для разных моментов времени. Что наглядно показывает поведение решения в данной задаче.

Можно заметить наличие зеркальных на двумерном пространстве решений для разных моментов времени, что явно говорит о правильности полученного решения, из-за граничных условий, обладающих свойствами симметрии.

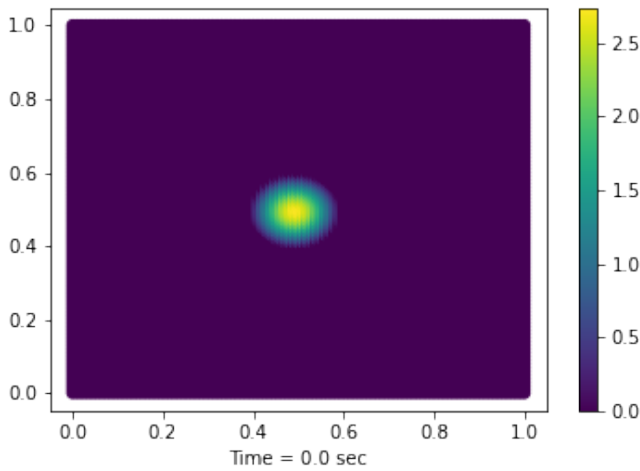


Рис. 1:

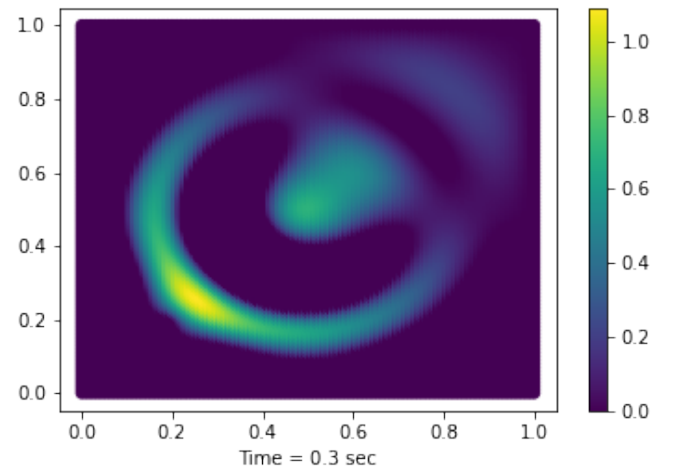


Рис. 2:

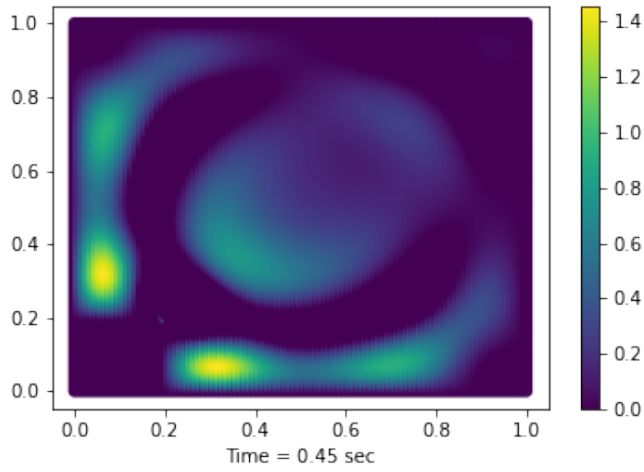


Рис. 3:

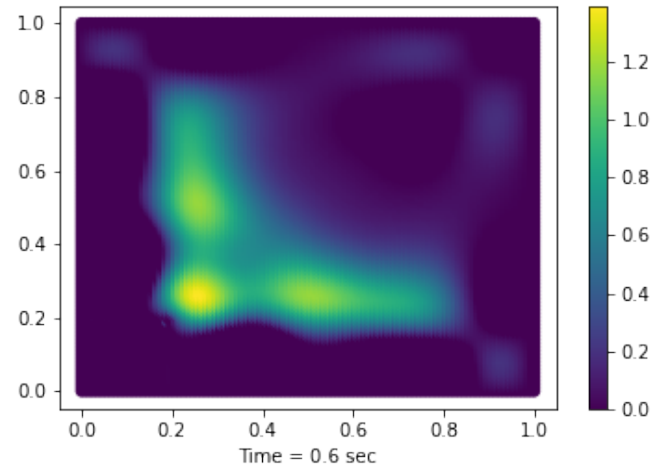


Рис. 4:

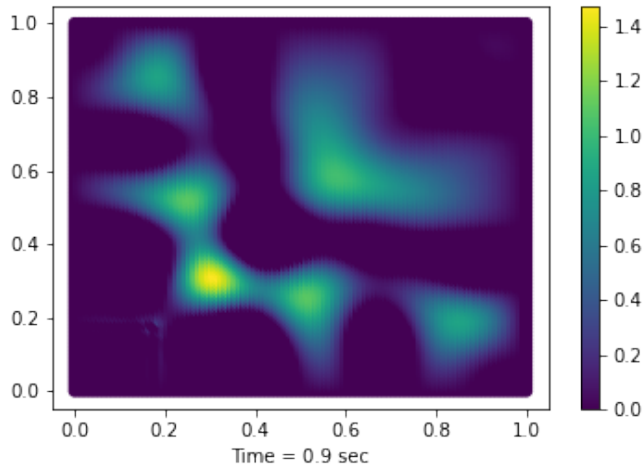


Рис. 5:

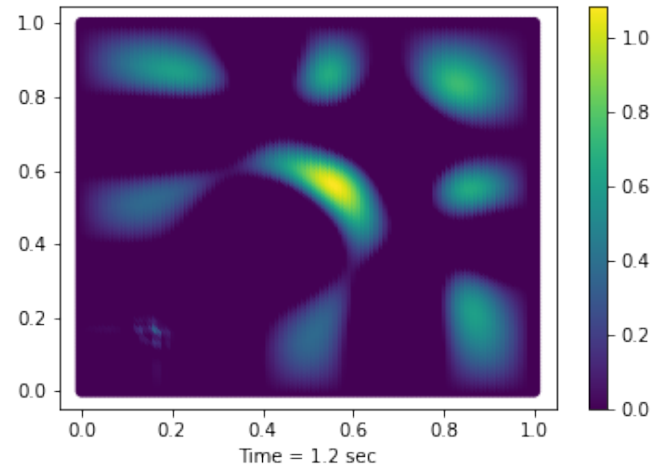


Рис. 6:

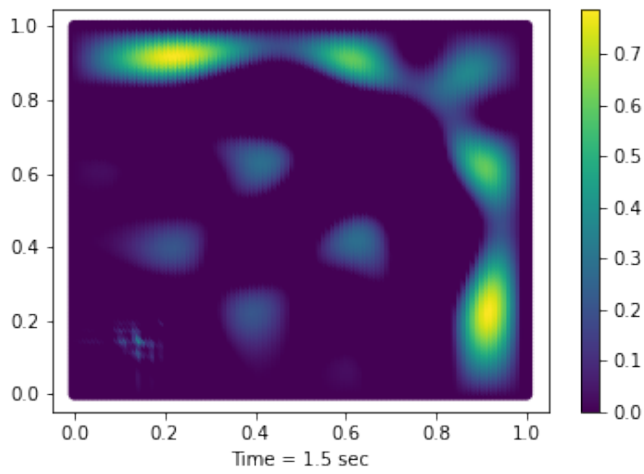


Рис. 7:

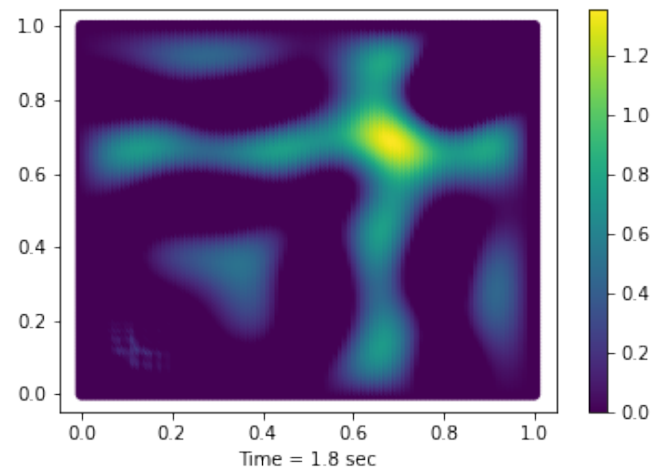


Рис. 8:

## 6 Заключение

В рамках данной работы можно отметить, что существует еще несколько не показанных здесь методов решения задач волнового типа, что является несомненным упущением. Но и

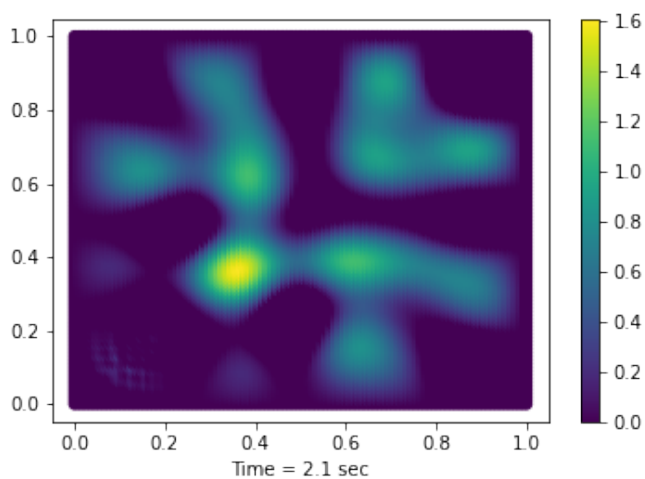


Рис. 9:

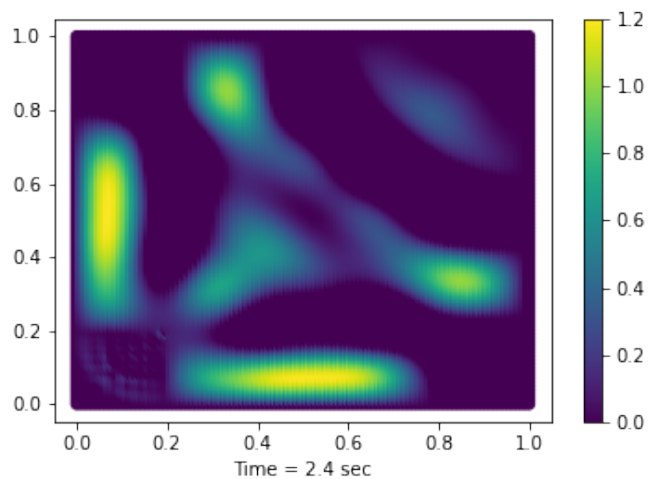


Рис. 10:

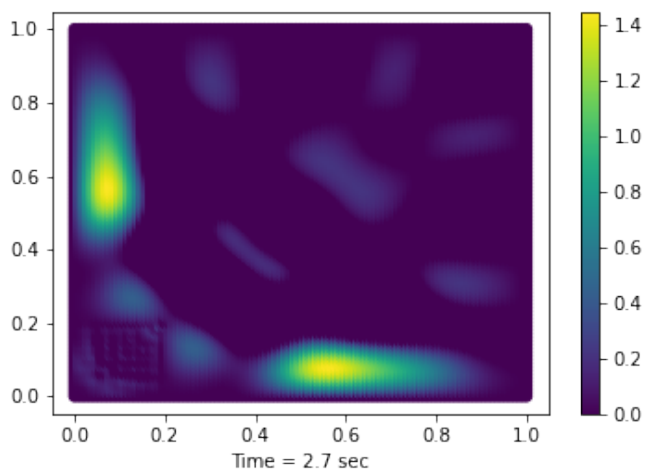


Рис. 11:

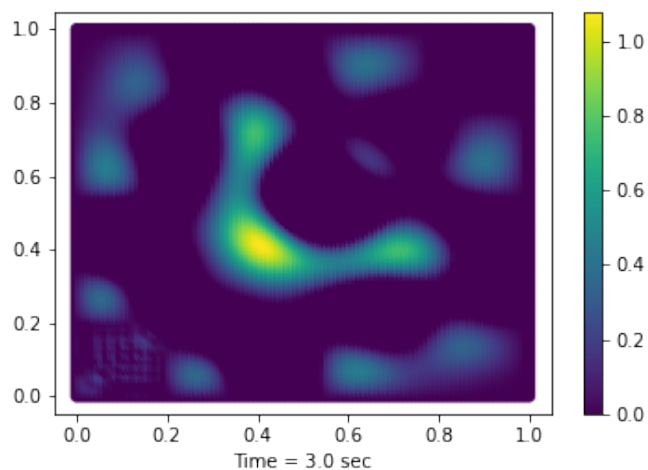


Рис. 12:

дает возможность продолжить данное исследование в дальнейшем.

## 7 Литература

- [1] Grossmann A, Morlet J SIAM J. Math. Anal. 15 723 (1984)
- [2] Е. Н. Аристова, А. И. Лобанов Практические занятия по вычислительной математике в МФТИ Часть II
- [3] Н. Н. Елкин Практикум по вычислительным методам физики
- [4] Рябенский В. С., Филиппов А. Ф. Об устойчивости разностных уравнений. — М.: Гостехиздат, 1956.
- [5] Березин И. С., Жидков Н. П. Методы вычислений